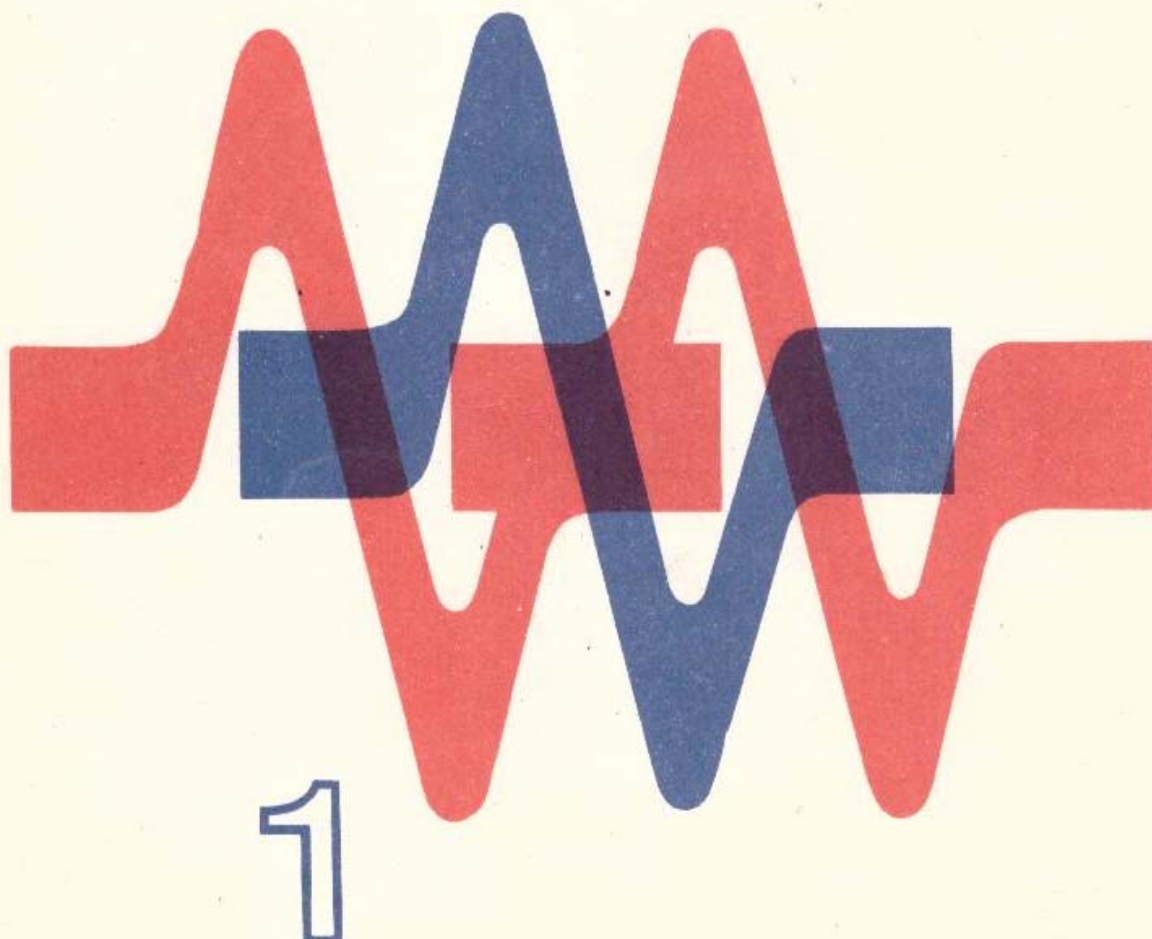


*Алеко*

XIII

ВСЕСОЮЗНАЯ  
КОНФЕРЕНЦИЯ  
ПО РАСПРОСТРАНЕНИЮ  
РАДИОВОЛН

ГОРЬКИЙ 1981



АКАДЕМИЯ НАУК СССР  
НАУЧНЫЙ СОВЕТ ПО КОМПЛЕКСНОЙ ПРОБЛЕМЕ  
"РАСПРОСТРАНЕНИЕ РАДИОВОЛН"  
ИНСТИТУТ ПРИКЛАДНОЙ ФИЗИКИ  
МИНИСТЕРСТВО ВЫСШЕГО И СРЕДНЕГО СПЕЦИАЛЬНОГО  
ОБРАЗОВАНИЯ РСФСР  
ГОРЬКОВСКИЙ НАУЧНО-ИССЛЕДОВАТЕЛЬСКИЙ  
РАДИОФИЗИЧЕСКИЙ ИНСТИТУТ  
ГОРЬКОВСКИЙ ГОСУДАРСТВЕННЫЙ УНИВЕРСИТЕТ  
ИМ. Н.И. ЛОБАЧЕВСКОГО  
ПРОБЛЕМНЫЙ СОВЕТ ПО РАСПРОСТРАНЕНИЮ РАДИОВОЛН  
МИНИСТЕРСТВА ВЫСШЕГО И СРЕДНЕГО СПЕЦИАЛЬНОГО  
ОБРАЗОВАНИЯ СССР

---

# XIII ВСЕСОЮЗНАЯ КОНФЕРЕНЦИЯ ПО РАСПРОСТРАНЕНИЮ РАДИОВОЛН

*Горький, июнь 1981 г.*

## ТЕЗИСЫ ДОКЛАДОВ

ЧАСТЬ I

*Д. Герасимов*  
*30.6.81*



ИЗДАТЕЛЬСТВО «НАУКА»  
Москва 1981

Предполагалось, что нагрев электронного газа происходит за счет поглощения энергии мощной волны в слое толщиной несколько километров.

В результате получена зависимость относительных изменений электронной концентрации от эффективной мощности нагревного передатчика с учетом разбухания поля вблизи точки отражения, а также от высоты нагрева, коэффициента потерь, эффективной частоты столкновений и т.д.

#### Л и т е р а т у р а

1. В.В.Васьков, А.В.Гуревич.-Геомагнетизм и аэрономия, 1976, 16, № 6.
2. Г.С.Иванов-Холодный, Г.М.Никольский. Солнце и ионосфера. М.: Наука, 1969.

#### К ИССЛЕДОВАНИЮ ВЛИЯНИЯ НЕЛИНЕЙНЫХ ЭФФЕКТОВ НА ЧАСТИЧНО ОТРАЖЕННЫЕ СИГНАЛЫ

А.Н.Гоков, С.И.Мартыненко, В.А.Мисюра, Л.А.Пивень,  
Д.П.Бедоренко, Л.Ф.Черногор

Известно, что при работе мощных радиотехнических средств КВ диапазона, используемых в радиофизических исследованиях, могут возникать искусственные возмущения параметров ионосферной плазмы. Поэтому возникла необходимость в изучении влияния нелинейных эффектов на измерения параметров нижней ионосферы методом частичных отражений (ЧО), являющимся одним из наиболее распространенных методов экспериментального исследования З - области. Ранее [1] этот вопрос изучался в приближении малых возмущений (т.е.  $E_0^2 \ll E_p^2$ , где  $E_0$  - амплитуда зондирующей волны,  $E_p$  - плазменное поле). Однако в связи с наблюдаемой тенденцией к увеличению эффективной мощности применяемых установок метода ЧО, условие малости возмущений в нижней ионосфере выполняется не всегда. Цель данной работы - теоретическое и экспериментальное изучение влияния нелинейных эффектов на точность метода ЧО при использовании установок повышенной мощности ( $E_0 \gtrsim E_p$ ).

Исходные соотношения. Для расчета возмущений температуры электронов  $T_e$  нами использовалось приближение несамосогласованного поля, упрощающее процедуру численного счета [2,3]. Алгоритм расчета заключался в следующем. Вся исследуемая область от начала ионосферы разбивалась по высоте на слои толщиной  $\Delta Z$ ; для I-го слоя решалось стационарное уравнение баланса  $T_e$  для продольного рас-

пространения линейно-поляризованной волны

$$\delta_0^{-1} \delta(\theta_\infty)(\theta_\infty - 1) = \frac{1}{2} (\gamma_+ \Omega_+ + \gamma_- \Omega_-), \quad (1)$$

$$\text{где } \theta_\infty = T_{e\infty}/T_{eo}, \gamma_\pm = \frac{E_0^2}{E_p^2} \exp\{-2 K_{0\pm}(z)\}, V = V_0 \theta_\infty^{5/6},$$

для закона  $V \sim T_e^{5/6}$  имеем  $V \approx 2,07 V_m$ ,  $V_m$  - эффективная частота соударений моноэнергетических электронов,  $T_{eo} \approx 200$  К,

$$\Omega_\pm = (\omega^2 + V_0^2)[(\omega \pm \omega_L)^2 + V_0^2 \theta_\infty^{5/3}]^{-1}, \omega_L = 2\pi f,$$

$f_L \approx 1,35$  МГц - продольная составляющая гирочастоты электронов,  $K_{0\pm}(z)$  - интегральное поглощение возмущающей радиоволны на частоте  $\omega$ , индексом "0" обозначены параметры невозмущенной ионосферы, знаки "+" относятся к обычновенной и необыкновенной компонентам зондирующей волны; полагалось  $/3/$ , что  $\delta(\theta) = \delta_0(\theta^{-4/3} + 0,014 \theta)$ , где  $\delta_0 = 2 \cdot 10^{-3}$  - относительная доля энергии, теряемая электроном при одном соударении с тяжелой частицей. Далее по известной из (1) величине возмущения в стационарном случае  $\theta_\infty$  определялось  $\theta(t) /3/$ :

$$\theta(t) \approx \frac{\theta_\infty \gamma' + [\theta_\infty(1 - \gamma') - 1] \exp(-t/t_T)}{\gamma' + [(\theta_\infty - 1) - \gamma'] \exp(-t/t_T)}, \quad (2)$$

$$\text{где } \gamma' = \frac{1}{2} (\gamma_+ \Omega_{0+} - \gamma_- \Omega_{0-}), \Omega_{0\pm} = \Omega_\pm|_{\theta=1}, t_T = (\delta_0 V_0)^{-1},$$

$t$  - время, отсчитывающееся от момента прихода переднего фронта импульса на высоту  $Z$ . Затем, учитывая (2), рассчитывалось нелинейное интегральное поглощение  $K(z)$  в данном слое и в уравнение (1) подставлялось скорректированное значение  $\gamma_\pm$ . Процедура повторялась до тех пор, пока расхождение в получаемых значениях  $\theta$  не составляло менее 0,5%. Далее, используя полученное  $K(z, \theta)$  для 1-го слоя, определялось  $\delta$  для 2-го слоя и т.д. Погрешность данной методики из-за недостаточно точного учета самовоздействия растет с высотой от единиц процентов при  $Z \sim 60-70$  км до 10-20% при  $Z \sim 80-90$  км. Полученные выражения  $\theta(t, Z)$  использовались для вычисления показателя нелинейности  $S_\pm /1/$  путем замены  $V_0 \rightarrow V_0[\theta(t)]^{5/6}$  в выражениях для амплитуды зондирующей волны и средних квадратов амплитуд ЧО сигналов (черта означает операцию усреднения по  $t$  на интервале  $\tau$ , где  $\tau$  - длительность импульса). Учет релаксационных процессов проводился по аналогии с  $/2,3/$ .

Сравнение теории и эксперимента. Эксперименты по изучению нелинейных эффектов в методе ЧО проводились в ноябре 1979 г. в дневное время в пос. Гайдары Харьковской области на радиофизической обсерватории Харьковского университета на установке ЧО с пар-

метрами: коэффициент усиления антенны  $G = 200$ , импульсные мощности передатчиков  $P_1 = 120$  кВт и  $P_2 = 270$  кВт,  $\tau = 25$  мкс, рабочая частота  $f \approx 2,6$  МГц, частота регистрации на кинопленку 1 кадр/с. Предварительно был экспериментально получен профиль  $N_e(z)$ , используемый затем в теоретических расчетах, профиль  $V_m(z)$  задавался априорно. Расчетные значения  $\Theta = \Theta(z, \tau) - I$  для  $P_1$  и  $P_2$ , а также модель нижней ионосферы приведены в таблице.

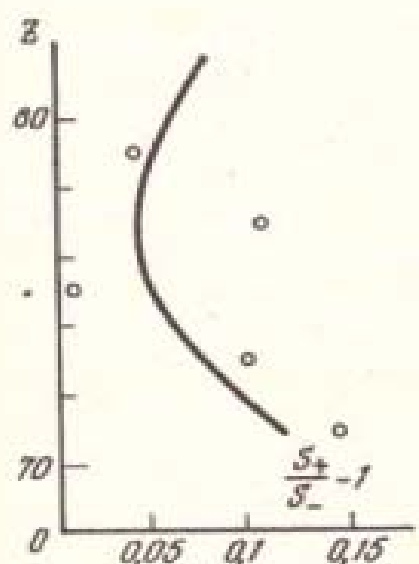
$Z$ , км	71	75	79	83	87
$N_e$ , см $^{-3}$	100	160	700	$1,5 \cdot 10^3$	$3 \cdot 10^3$
$V_m$ , см $^{-1}$	$3,5 \cdot 10^6$	$1,8 \cdot 10^6$	$9,0 \cdot 10^5$	$4,5 \cdot 10^5$	$2,0 \cdot 10^5$
$\Theta(P_1)$	0,33	0,18	0,06	0,02	0,01
$\Theta(P_2)$	0,70	0,38	0,13	0,04	0,02

Отметим, что функция  $\Theta = \Theta(f)$  имеет максимум при  $\omega^2 \approx V_e^2$ , который обычно в условиях дневной нижней ионосферы достигается при  $f \approx 2,5-4$  МГц для необыкновенной и  $\sim 1,5-2,5$  МГц для обыкновенной волн. Поэтому используемая в данных экспериментах частота  $\sim 2,6$  МГц, по-видимому, являлась оптимальной для исследования влияния нелинейных эффектов.

Экспериментально определялась и рассчитывалась величина

$$S_{\pm} = \frac{\bar{A}_{\pm}^2(P_2)}{\bar{A}_{\pm}^2(P_1)} \cdot \frac{P_1}{P_2}, \quad (3)$$

где  $\bar{A}_{\pm}^2(P_1)$  и  $\bar{A}_{\pm}^2(P_2)$  – средние квадраты амплитуд принятых 40 сигналов соответственно для мощностей  $P_1$  и  $P_2$ .



На рисунке приведены теоретическая кривая  $\Delta = S_+/S_- - I$  и экспериментальные значения (обозначены крестиками). Последние получены 19.II.79 в 14.00–14.20 L T. От величины  $\Delta$  зависит погрешность, вносимая нелинейными эффектами в измерения профиля  $N_e(z)$  методом ЧО. Видно согласие результатов теоретических расчетов и экспериментальных данных. Следовательно, рассматриваемые нелинейные эффекты могут оказывать существенное влияние на точность определения параметров нижней ионосферы.

методом ЧО, что, по-видимому, может служить в некоторых случаях препятствием для применения установок повышенной мощности.

#### Л и т е р а т у р а

1. С.И.Мартыненко, Л.Ф.Черногор.-Геомагнетизм и аэрономия, 1976, 16; 1977, 17.
2. В.А.Мисюра, Л.Ф.Черногор, И.С.Шлюгер.-Вестник Харьковского ун-та. Радиофизика и электроника, 1975, 130.
3. Е.Д.Иванов, Л.Ф.Черногор. - Вестник Харьковского ун-та. Радиофизика, 1979, 180.

#### ЭКСПЕРИМЕНТАЛЬНАЯ МОДЕЛЬ ОБЛАСТИ РАССЕЯНИЯ УКВ НА ИСКУССТВЕННЫХ НЕОДНОРОДНОСТЯХ

А.В.Коровин, А.М.Насыров, Е.В.Прокурин, Н.Н.Ягнов

Модель области ракурсного рассеяния на мелкомасштабных неоднородностях ( $L_{\perp} = 3$  м), стимулированных воздействием на ионосферу мощного КВ-радиоизлучения построена по результатам измерений высоты отражения волны накачки, корреляции рассеянных полей при пространственном и частотном разносах, углов прихода рассеянных волн в двух плоскостях, сечения рассеяния, доплеровских изменений частоты и времен развития и релаксации неоднородностей. Измерения проводились в 1978-1980 гг. на опытных радиолиниях при нагреве в Горьком и Васильсурске.

По измерениям углов места и высот рассеяния определено пространственное положение поверхности зеркального рассеяния. Для приемного пункта в Волгоградской области сечение этой поверхности представляет дугу, вынутую вверх, с наклоном в средней части  $\sim 10^{\circ}$  по отношению к горизонту. Область зеркального рассеяния расположена несимметрично по отношению к вертикали, проходящей через пункт нагрева, и имеет протяженность  $\sim 100$  км к югу и  $\sim 50$  км к северу. При углах  $\alpha$  между волновым вектором волны накачки и вектором геомагнитного поля, больших  $\sim 30^{\circ}$ , сечение рассеяния резко уменьшается. Измеренные значения  $\alpha$  совпадают с теоретическими оценками  $\Pi$ . Корреляция рассеянных полей по измерениям в Астраханской области на базах различной длины и ориентации уменьшается в  $\sim 10$  раз на расстоянии  $d_{\perp} = 70$  м при поперечном к направлению на возмущенную область (ВО) разносе и  $d_{\parallel} = 1000$  м при продольном разносе. Таким значениям  $d_{\perp}$  соответствуют поперечные (в направлении восток - запад) размеры области рассеяния  $L_{\perp} = 40$  км. Измерения размеров области рассеяния  $L_{\parallel}$  в направлении север - юг выполнялись методом частотной корреляции. По данным, полученным в Волго-